

УДК 539 : 537.531

**ОПРЕДЕЛЕНИЕ ПЛАСТИЧЕСКОЙ ДЕФОРМАЦИИ  
В ГЕТЕРОСТРУКТУРАХ  
ПО ДАННЫМ РЕНТГЕНОВСКОЙ ДИФРАКТОМЕТРИИ**

Ю. П. Хапачев, Ф. Н. Чуховский

Показано, что по данным двухкристальной рентгеновской дифрактометрии из измерений компонент тензора кривизны и компонент тензора деформации в плоскости гетерограницы и в направлении, перпендикулярном гетерогранице, можно извлечь информацию о скачках пластической деформации в слоях гетероструктур. На основе этого для двухслойных гетероструктур ряда соединений Al<sub>3</sub>V<sub>4</sub> определены плотность дислокаций и толщина области их сосредоточения в подложке.

Структурное совершенство гетероэпитаксиальных систем зависит как от условий выращивания, так и от их структурных параметров, и в первую очередь от степени пластической деформации и величины несоответствия параметров решеток (НПР) слоев и подложки [1].

Определение пластической деформации  $\varepsilon_{ij}^{pl}$  и НПР  $\beta_{ij}$  необходимо, в частности, для выяснения механизмов, вызывающих отклонение от условий псевдоморфного роста [2]. Измерение упругой деформации важно в связи с предсказанной в [3] возможностью существования метастабильных состояний типа сверхрешеток в гетероструктурах тройных твердых растворов, имеющих тенденцию к распаду.

Рентгенодифрактометрические (РД) методы позволяют измерять для многослойных гетероструктур общую кривизну системы  $x_{ij}$  [4] и компоненты тензора деформации  $\varepsilon_{ij}$  [5] для каждого эпитаксиального слоя. Смысл тензора  $\varepsilon_{ij}$  зависит от причин, вызывающих деформацию кристалла. Если деформация вызвана внешними силами или дислокациями, то РД методом может быть измерена только упругая деформация  $\varepsilon_{ij} = \varepsilon_{ij}^{up}$  [6]. В том случае, когда деформация возникает только из-за НПР  $\beta_{ij}$ , то РД методом измеряется полная деформация  $\varepsilon_{ij} = \varepsilon_{ij}^{\text{пол}}$  [7], причем  $\varepsilon_{ij}^{\text{пол}} = \beta_{ij} + \varepsilon_{ij}^{up}(\beta)$ , где  $\varepsilon_{ij}^{up}(\beta)$  — упругая деформация, возникающая при когерентном сопряжении слоев и подложки в условиях псевдоморфного роста. В общем случае при наличии в гетероструктуре дислокаций и НПР РД методом измеряется сумма указанных деформаций, т. е. тензор равен

$$\varepsilon_{ij} = \varepsilon_{ij}^{up} + \beta_{ij} + \varepsilon_{ij}^{up}(\beta). \quad (1)$$

Поскольку в данном случае полная деформация системы равна  $\varepsilon_{ij}^{\text{пол}} = \varepsilon_{ij} + \varepsilon_{ij}^{\text{пл}}$ , то  $\varepsilon_{ij}$  может быть представлена в виде

$$\varepsilon_{ij} = \varepsilon_{ij}^{\text{пол}} - \varepsilon_{ij}^{\text{пл}}. \quad (2)$$

Цель данной работы — показать, что по данным двухкристальной рентгеновской дифрактометрии в многослойных гетероструктурах могут быть определены скачки тензора пластической деформации на границах между слоями. Специальное внимание удалено практически важному случаю — двухслойной гетероструктуре, толщина эпитаксиальной пленки в которой меньше соответствующего критического значения [1, 2], при котором дисло-

кации несоответствия (ДН) в пленке не образуются. В таких гетероструктурах пленки являются бездислокационными, а ДН сосредоточены в подложке [8].

## 1. Общие соотношения для определения НПР и скачков пластической деформации в многослойных гетероструктурах

Наличие в гетероструктуре дислокаций описывается тензором плотности дислокаций  $\alpha_{ij}$ , связанным с тензором пластической дисторсии  $u_{kl}^{II}$  соотношением [6]

$$\alpha_{ij} = \epsilon_{ijk} \frac{\partial}{\partial x_j} u_{kl}^{II}, \quad (3)$$

где  $\epsilon_{ijk}$  — единичный антисимметричный тензор третьего ранга.

Для дислокаций, равномерно распределенных в некоторой области, можно ввести скалярную плотность дислокаций  $\rho_i$ , которая связана с вектором Бюргерса  $b$  и средним значением пластической деформации следующим образом [2, 5]:

$$\overline{\epsilon_{ii}^{II}} = \rho_i |b|. \quad (4)$$

Здесь и в дальнейшем черта сверху означает усреднение по толщине области  $h$ , которое понимается в обычном смысле, т. е.

$$\bar{\epsilon} = \frac{1}{h} \int_0^h \epsilon(z) dz.$$

Несоответствие параметров решетки эпитаксиальных слоев и подложки описывается тензором НПР [5, 7]

$$\beta_{ij}(z) = \beta f(z) \delta_{ij}, \quad (5)$$

где  $\beta = \Delta a/a$  — амплитуда НПР определяет относительное изменение параметров решеток слоя и подложки в свободном состоянии;  $\delta_{ij}$  — символ Кронекера;  $f(z)$  — закон изменения НПР (модель гетероструктуры), причем,  $0 \leq f(z) \leq 1$  в пленке и  $f(z)=0$  в подложке.

Решение одномерной задачи упруго- и пластически деформированного состояния гетероструктур кубической системы для ориентаций эпитаксиальных пленок по (001), (110) и (111) имеет вид [5]

$$\beta f(z) = q_1 (\varepsilon_{xx}^{pol} - \varepsilon_{xx}^{pl}) + q_2 (\varepsilon_{yy}^{pol} - \varepsilon_{yy}^{pl}) + q_3 (\varepsilon_{zz}^{pol} - \varepsilon_{zz}^{pl}), \quad (6)$$

$$\varepsilon_{ii}^{pol} = \beta D(z) + D_{ii}^{pl}(z), \quad i = x, y, \quad (7)$$

$$x_{ij} = \frac{12}{L^2} [\beta \langle (z - L/2) f(z) \rangle + \langle (z - L/2) \varepsilon_{ii}^{pl}(z) \rangle] (1 - \delta_{ij}), \quad (8)$$

где

$$D_{ii}^{pl}(z) = \langle \varepsilon_{ii}^{pl}(z) \rangle + \frac{12}{L^2} (z - L/2) \langle (z - L/2) \varepsilon_{ii}^{pl}(z) \rangle, \quad (9)$$

знак  $\langle \dots \rangle$  означает усреднение по всей толщине гетероструктуры  $L$ . Выражение для  $D(z)$  получается из (9) заменой  $\varepsilon_{ii}^{pl}(z)$  на  $f(z)$ . Коэффициенты  $q_i$ , выраженные через компоненты тензора упругой жесткости, для указанных выше ориентаций пленок приведены в [7].

Для гетероструктур с резко разграниченными слоями постоянного состава угловое расстояние РД максимумов слоев от РД максимума подложки зависит от средней деформации данного слоя относительно недеформированного состояния подложки [5]. Поэтому, усредняя (6) и (7) и вычитая, согласно (2), из (7)  $\varepsilon_{ii}^{pl}$ , получим

$$\overline{\beta f(z)} = q_1 \overline{\varepsilon_{xx}} + q_2 \overline{\varepsilon_{yy}} + q_3 \overline{\varepsilon_{zz}}, \quad (10)$$

$$\overline{\varepsilon_{ii}} = \beta \langle f(z) \rangle + \Delta \varepsilon_{ii}^{pl} - \frac{L-h}{2} x_{ij}, \quad (11)$$

где

$$\Delta \varepsilon_{ii}^{ux} = \langle \varepsilon_{ii}^{ux}(z) \rangle - \overline{\varepsilon_{ii}^{ux}}(z) \quad (12)$$

определяет скачок между средним значением  $\varepsilon_{ii}^{ux}$  в данном слое и средним значением  $\varepsilon_{ii}^{ux}$  в остальной части гетероструктуры. В РД эксперименте фиксируется именно величина этого скачка, которая, согласно (4), может быть выражена через скалярную плотность ДН на гетерогранице.

Таким образом, если закон изменения НПР  $f(z)$  известен, то система пяти уравнений (8), (10) и (11) позволяет по экспериментально измеренным значениям компонент тензора кривизны  $x_{xy}$ ,  $x_{yx}$  и компонентам тензора деформации  $\varepsilon_{zz}$ ,  $\varepsilon_{xx}$  и  $\varepsilon_{yy}$  найти пять неизвестных величин: амплитуду НПР  $\beta$ ,  $\langle (z - L/2) \varepsilon_{xx}^{ux} \rangle$  и  $\Delta \varepsilon_{ii}^{ux}$ ,  $i = x, y$ .

Выражение (10) может быть проверено экспериментально, например, для гетероструктур со значительной плотностью дислокаций в пленке. В [9] были исследованы двухслойные гетероструктуры ряда бинарных соединений  $A^{III}B^V$  и  $A^{II}B^{VI}$  с плотностью дислокаций в пленке  $\rho \approx 10^5 - 10^6 \text{ см}^{-1}$ . Расчет амплитуды НПР по формуле (10) и непосредственно по значениям параметров решеток исходных соединений, составляющих гетероструктуру, дал в [9] хорошее соответствие.

## 2. Определение плотности дислокаций и толщины области их сосредоточения в двухслойной гетероструктуре

Рассмотрим двухслойную гетероструктуру — систему пленка—подложка со ступенчатым законом изменения НПР, т. е.  $f(z) = \Theta(h-z)$ , где  $\Theta(z)$  — функция Хевисайда,  $h$  — толщина пленки. При  $\varepsilon_{xx}^{ux} = \varepsilon_{yy}^{ux}$  из системы уравнений (8) и (10)–(12) получим

$$\beta = (1 - q_3) \overline{\varepsilon_{xx}} + q_3 \overline{\varepsilon_{yy}}, \quad (13)$$

$$\overline{\varepsilon_{xx}} = \frac{h}{L} \beta - \frac{L-h}{2} x_{xy} + \Delta \varepsilon_{xx}^{ux}, \quad (14)$$

$$x_{xy} = -\frac{6h}{L^2} \left[ \frac{L-h}{L} \beta - \frac{2}{h} \langle (z - L/2) \varepsilon_{xx}^{ux}(z) \rangle \right]. \quad (15)$$

Выражение (13) в отличие от аналогичного выражения работы [10] учитывает анизотропию упругих постоянных. Для ультратонких пленок в пределе при  $h/L \rightarrow 0$  выражения (14) и (15) переходят в соответствующие формулы работы [10], если отношение

$$\gamma = \frac{2}{h} \langle (z - L/2) \varepsilon_{xx}^{ux} \rangle / \Delta \varepsilon_{xx}^{ux} \quad (16)$$

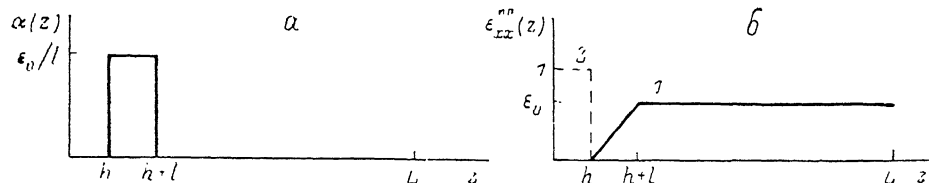
равно единице; при этом, согласно (4), следует положить  $\Delta \varepsilon_{xx}^{ux} = \rho |b|$ . Это осуществляется, в частности, при двух различных законах изменения пластической деформации

$$\varepsilon_{xx}^{ux} = \varepsilon_0 (1 - \theta(z-h)), \quad \varepsilon_{xx}^{ux} = -\varepsilon_0 \theta(z-h),$$

где  $\varepsilon_0$  — амплитуда пластической деформации. Оба закона изменения отвечают одному и тому же закону изменения плотности дислокаций  $\alpha(z) = -\varepsilon_0 \delta(z-h)$ . Подобная неоднозначность  $\varepsilon_{xx}^{ux}$  связана с тем, что тензор пластической дисторсии (3), а значит, и тензор  $\varepsilon_{xx}^{ux}$  определены для одного и того же значения  $\alpha(z)$  с точностью до произвольной постоянной. Поэтому физический смысл имеет тензор  $x_{ij}$  и соответственно скачок тензора пластической деформации, т. е.  $\Delta \varepsilon_{ii}^{ux}$ , но не сам тензор  $\varepsilon_{ii}^{ux}$ . Заметим, что, поскольку в формулу для кривизны гетероструктуры (8)  $\varepsilon_{ii}^{ux}$  входит как среднее от момента, т. е.  $\langle (z - L/2) \varepsilon_{ii}^{ux} \rangle$ , а  $\langle (z - L/2) \rangle = 0$ , то  $x_{ij}$  определена однозначно. Также однозначно определены и компоненты тензора  $\varepsilon_{ii}^{ux}$  поскольку зависят от  $x_{ij}$  и величины скачка  $\Delta \varepsilon_{ii}^{ux}$ .

В [10] исследованы гетероструктуры, в которых ДН были сосредоточены преимущественно на гетерогранице. В общем случае при расчете НПР и пластической деформации необходимо использовать соотношения (13)–(15), справедливые для любого одномерного закона распределения дислокаций как в пленке, так и в подложке. Если  $\gamma \neq 1$ , то это свидетельствует о размытом распределении дислокаций.

Рассмотрим важный для практического приложения пример — гетероструктуру с бездислокационной пленкой. Тогда  $\epsilon_{xx}^{pl}=0$ , а дислокации будем считать равномерно распределенными в подложке в области толщиной  $l$  (см. рисунок, а). Для такой гетероструктуры примем простейшую модель изменения пластической деформации (см. рисунок, б).



Модель двухслойной гетероструктуры со ступенчатым законом изменения НПР и равномерным распределением дислокаций в подложке в области толщиной  $l$ .

а — плотность дислокаций  $\alpha(z)$ ; б — пластическая деформация  $\epsilon_{xx}^{pl}(z)$  (1), закон изменения НПР  $f(z)$  (2).

$$\epsilon_{xx}^{pl}(z) = \epsilon_0 \left[ \frac{z-h}{l} \Theta(z-h) \Theta(h+l-z) + \Theta(z-h-l) \right]. \quad (17)$$

Подставляя (17) в (16), находим толщину слоя  $l$  и амплитуду пластической деформации  $\epsilon_0$

$$l = p [1 - \sqrt{1 + q/p^2}], \quad \epsilon_0 = 2L\Delta\epsilon_{xx}^{pl}/(2(L-h)-l), \quad (18)$$

где введены следующие обозначения:

$$p = {}^3/{}_4 h (L/h + \gamma - 2), \quad q = 3h(L-h)(1-\gamma). \quad (19)$$

Деформации, кривизна и рассчитанные по ним НПР, плотность и толщина области сосредоточения дислокаций в гетероструктурах соединений АІІВV

	Толщина, мкм		Деформация, $10^{-3}$		Кривизна, $10^{-7}$ мкм $^{-1}$ $zxy$
	$h$	$L$	$\bar{\epsilon}_{zz}$	$\bar{\epsilon}_{xx}$	
In <sub>1-x</sub> Ga <sub>x</sub> P/(001)InP [10]	2.2 4.1	233.2 383.1	3.60 4.00	1.80 1.30	-2.09 -0.48
In <sub>1-x</sub> Ga <sub>x</sub> As <sub>1-y</sub> P <sub>y</sub> /(001)GaAs [11]	4.0	304.0	-1.72	-0.17	1.23
Al <sub>x</sub> Ga <sub>1-x</sub> As/(001)GaAs [12]	1.3 1.3	317.2 314.6	2.30 2.27	0.02 0.02	-0.91 -0.89

Продолжение

	Пластическая деформация, $10^{-3}$		НПР $10^{-3}$ g	Плотность дислокаций, $10^2$ см $^{-1}$ g	Толщина области сосредоточения дислокаций, мкм $l$
	$2/h \langle (z-L/2) \epsilon_{xx}^{pl} \rangle$	$\Delta \epsilon_{xx}^{pl}$			
In <sub>1-x</sub> Ga <sub>x</sub> P/(001)InP [10]	1.76 2.25	1.75 1.26	2.65 2.57	$8.8 \cdot 10^2$ $6.3 \cdot 10^2$	0.03 7.09
In <sub>1-x</sub> Ga <sub>x</sub> As <sub>1-y</sub> P <sub>y</sub> /(001)GaAs [11]	-0.426	-0.139	-0.90	69	16.64
Al <sub>x</sub> Ga <sub>1-x</sub> As/(001)GaAs [12]	0.038 0.066	0.001 0.001	1.22 1.20	0.5 0.5	102.86 200.41

В качестве примера использования полученных выше формул рассмотрим гетероструктуры соединений  $A^{III}B^V$ , экспериментально исследованные в [10-12]. В таблице приведены результаты РД измерений кривизны  $\kappa_{xy}$  и компонент тензора деформации  $\varepsilon_{zz}$  и  $\varepsilon_{xx}$ . По этим данным рассчитаны амплитуда НПР  $\beta$ ,  $(2/h) \langle (z-L/2) \varepsilon_{xx}^{II} \rangle$  и  $\Delta\varepsilon_{xx}^{II}$ , а также плотность дислокаций  $\rho$  и толщина области их сосредоточения  $l$ . Видно, что с увеличением параметра  $\gamma$  толщина области  $l$  возрастает.

Таким образом, из данных двухкристальной рентгеновской дифрактометрии можно определить не только плотность дислокаций, но и толщину области их сосредоточения.

В заключение отметим, что использование трехкристальной рентгеновской дифрактометрии в дифференциальном режиме существенно расширяет возможности РД метода измерения деформаций, поскольку позволяет получить двухкоординатную развертку кривой дифракционного отражения в направлениях, перпендикулярном и параллельном гетерогранице. На основе этого в [13] был предложен новый способ измерения деформаций, который позволяет не только выделить скачки  $\Delta\varepsilon_{ii}^{II}$  в пленках однородного и монотонно изменяющегося составов, но и определить локализацию по толщине пленки дефектов структуры, вызывающих эти скачки  $\Delta\varepsilon_{ii}^{II}$ .

Авторы благодарны В. Л. Инденбому, В. М. Кағанеру и Р. Н. Кютту за полезные обсуждения и ценные замечания.

#### Список литературы

- [1] Мильвидский М. Г., Освенский В. Б. // Кристаллография. 1977. Т. 22. № 2. С. 431—447.
- [2] Тхорик Ю. А., Хазан Л. С. Пластическая деформация и дислокации несоответствия. Киев, 1983. 304 с.
- [3] Елюхин В. А., Сорокина Л. П. // ДАН СССР. 1986. Т. 287. № 6. С. 1384—1386.
- [4] Cohen B. G., Focht M. W. // Sol. St. Electronics. 1970. V. 13. N 1. P. 105—112.
- [5] Хапачев Ю. П., Чуховский Ф. Н. // Кристаллография. 1989. Т. 34. № 4. С. 931—943.
- [6] Инденбом В. Л. // Физика кристаллов с дефектами (Тбилиси). 1966. Т. 1. С. 5—106.
- [7] Чуховский Ф. Н., Хапачев Ю. П. // ДАН СССР. 1987. Т. 292. № 2. С. 354—356.
- [8] Прохоров И. А., Захаров Б. Г., Кунакина О. Н., Акимов Г. Г. // Поверхность. 1983. № 5. С. 23—30.
- [9] Кузнецов Г. Ф. Динамическое рассеяние рентгеновских лучей в кристаллах с искажениями. Ереван, 1988. С. 56.
- [10] Chu S. N. G., Macstander A. T., Strege K. E., Johnston W. D. // J. Appl. Phys. 1985. V. 57. N 2. P. 249—257.
- [11] Хапачев Ю. П., Дышеков А. А., Киселев Д. С. Субструктурное упрочнение металлов и дифракционные методы исследования. Киев, 1985. С. 221—222.
- [12] Дышеков А. А., Хапачев Ю. П. // II совещ. по всесоюзн. межвузовской программе «Рентген». Ереван, 1987. С. 198.
- [13] Кютт Р. Н., Рувимов С. С. // IV Всес. совещ. по когерентному взаимодействию излучения с веществом. М., 1988. С. 27—28.

Институт кристаллографии АН СССР  
Москва  
Кабардино-Балкарский  
государственный университет  
Нальчик

Поступило в Редакцию  
9 марта 1989 г.